

**ПРИМЕСЬ-ДИСЛОКАЦИОННОЕ ВЗАИМОДЕЙСТВИЕ  
ПРИ ЭЛЕКТРОПЛАСТИЧЕСКОЙ ДЕФОРМАЦИИ  
КРИСТАЛЛОВ КРЕМНИЯ.**

**I. МЕХАНИЧЕСКИЕ СВОЙСТВА**

© M.A. Алиев, X.O. Алиева, B.B. Селезнев

Институт физики Дагестанского научного центра

Российской академии наук,

367003 Махачкала, Россия

(Поступила в Редакцию 17 июня 1996 г.)

Экспериментально исследованы дислокационные явления в условиях электропластической деформации монокристаллов кремния, легированных галлием.

Известно взаимовлияние деформационно-диффузионных процессов в кристаллах полупроводников на их характеристические параметры [1]. В частности, в кристаллах кремния примесь-дислокационное взаимодействие имеет весьма широкий спектр проявлений [2,3]. В случае электропластической деформации кремния специфика примесь-дислокационного взаимодействия может способствовать пониманию физических принципов, определяющих пластичность кристаллов. В данной работе предпринята попытка изучения влияния одновременного воздействия таких внешних параметров возбуждения, как направленный поток заряженных частиц, диффузионный поток примесных атомов, на деформационные характеристики кристаллов указанного типа. Объектом исследования служил монокристаллический кремний дырочного типа проводимости, легированный галлием, с разностной концентрацией дырок  $10^{16} \text{ см}^{-3}$  при комнатной температуре. Образцы в виде параллелепипедов размером  $10 \times 8 \times 5 \text{ mm}$ , ребра которых совпадают с направлениями [110], [112], [111] соответственно, деформировались сжатием в вакууме вдоль длинной оси в режиме стационарной ползучести при постоянных напряжениях 3.9, 7.8, 11.8 MPa в течение 30 min. Диффузант наносился на очищенную широкую грань образца термическом испарением в вакууме. Деформация проводилась двумя способами: либо в условиях внешнего нагрева образца (термоэластическая деформация — ТПД), либо в условиях прохождения электрического тока через образец (электропластическая деформация — ЭПД), в двух режимах: с одновременной реализацией диффузии примесей индия и алюминия и без таковой. Температура деформации для ЭПД составляла  $750^\circ\text{C}$ , а для ТПД —  $800^\circ\text{C}$  ввиду того, что при более низких

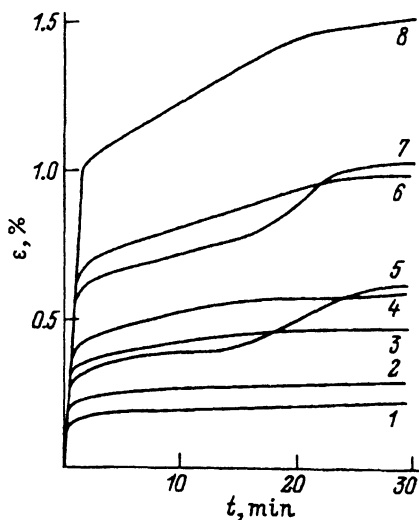


Рис. 1. Зависимость величины деформации от времени  $\epsilon = f(t)$  для ЭПД-способа при температуре  $T = 750^{\circ}\text{C}$  и различных напряжениях  $\tau$ .

$\tau$  (МПа): 1–3 — 3.9, 4–6 — 7.8, 7, 8 — 11.8.  
1, 5, 7 — без диффузии примеси, 3, 6, 8 — с диффузией индия, 2, 4 — с диффузией алюминия.

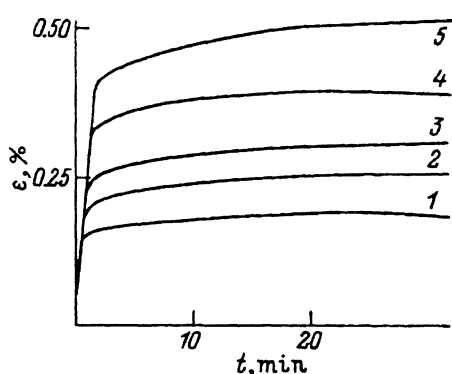


Рис. 2. Зависимость величины деформации от времени  $\epsilon = f(t)$  для ТПД-способа при температуре  $T = 800^{\circ}\text{C}$  и различных напряжениях  $\tau$ .

$\tau$  (МПа): 1, 2, 4 — 7.8, 3, 5 — 11.8. 1, 3 — без диффузии примеси, 2 — с диффузией алюминия, 4, 5 — с диффузией индия.

температурах кристалл практически не деформировался на заметную величину при использованных величинах напряжения и времени.

На рис. 1, 2 представлены характерные кривые зависимости величин деформации от времени для каждого из использованных режимов и способов деформации. Крутой линейный участок начала всех кривых характеризует пластическую деформацию кристаллов в процессе нагружения. Временной интервал этого участка задан скоростью возрастания и величиной нагрузки. Скорость для всех использованных режимов была одинаковой и составляла  $0.033 \text{ kg/s}$ . Наибольшая величина пластической деформации в процессе нагружения достигается при реализации одновременной диффузии примесных атомов индия и алюминия. После окончания режима нагружения и небольшого неуставновившегося участка течения отмечается квазистационарный режим ползучести. Скорость пластической деформации в режиме ползучести одного порядка и составляет  $\sim 10^{-5} \text{ s}^{-1}$  для всех использованных режимов. Как видно из рис. 1, 2, одновременная с деформацией реализация диффузии акцепторных примесей алюминия и индия приводит к заметному эффекту пластификации. Наиболее эффективно влияние индия по сравнению с алюминием для ТПД-способа при малых, а для ЭПД-способа — при больших напряжениях. Все кривые на рис. 1, 2 сохраняют в разной степени наклон к оси абсцисс, что подтверждает незавершенность течения кристалла за время испытания. Отличительной особенностью ЭПД-способа (см. кривые 5, 7) является обнаружение новой стадии разупрочнения. Если сопоставить деформации с одновременным проведением легирования и без таковой, то для первого случая неблюдаются снижение стартовых напряжений и увели-

чение абсолютной величины деформации по сравнению с режимом без диффузии. Сравнение ТПД- и ЭПД-способов привело к аналогичному результату [4]. Вышеотмеченные особенности деформации, проведенной с одновременной реализацией диффузии акцепторных примесей индия и алюминия в кристаллах  $p$ -кремния, объясняются, с нашей точки зрения, следующими факторами. Во-первых, по мере проникновения атомов примеси в глубь образца в нем возникают упругие напряжения, обусловленные разницей их атомных радиусов и достаточные для генерации дислокаций вблизи поверхности. Поверхность деформируемого образца начинает работать как источник дислокаций с диффузионной накачкой и успевает пополнять запас подвижных дислокаций взамен выбывших. Кроме того, наличие внешнего электрического поля увеличивает эффективную силу, действующую на дислокацию со стороны внешних механических напряжений [5,6]. Во-вторых, разупрочняющую роль совместного примесь-дислокационного воздействия можно связать с неоднородностью распределения дислокаций и наличием областей повышенного и пониженного электросопротивления, в результате чего происходит неоднородный локальный разогрев и наводятся связанные с этим термические напряжения, увеличивающие подвижность дислокаций. При этом меняется миграция примесей вдоль дислокационных трубок, что может изменять их распределение в окрестности дислокаций и воздействовать на динамику последних [7,8]. На основе вышеизложенного можно заключить, что выдвинутое ранее [4] предположение о специфике механизма действия электронной подсистемы на характеристические параметры решетки получило дополнительное подтверждение.

### Список литературы

- [1] Т. Судзуки, Х. Есинага, С. Такеути. Динамика дислокаций и пластичность / Пер. с япон. М. (1989). 294 с.
- [2] В.В. Петухов, В.Я. Сухарев. ФТТ **23**, 4, 1093 (1981).
- [3] Л.С. Милевский, Ю.Н. Чувилин. ФТТ **20**, 11, 3265 (1978).
- [4] М.А. Алиев, Х.О. Алиева, В.В. Селезнев. ФТТ **37**, 12, 3732 (1995).
- [5] Г.А. Конторова. ФТТ **9**, 4, 1235 (1967).
- [6] Ю.В. Корнюшин. Явления переноса в реальных кристаллах во внешних полях. Киев (1986). 126 с.
- [7] Я.Е. Гегузин, В.П. Мацокин. УФЖ **25**, 4, 612 (1980).
- [8] Е.Е. Вдовин, А.Ю. Касумов. ФТТ **30**, 1, 312 (1988).